

*Imagerie médicale et apprentissage automatique :
vers une intelligence artificielle ?*



Patient numérique & intelligence artificielle



Nicholas Ayache

2 mai 2018



COLLÈGE
DE FRANCE
— 1530 —

Intelligence Artificielle pour l'imagerie médicale

- **Une définition ?**

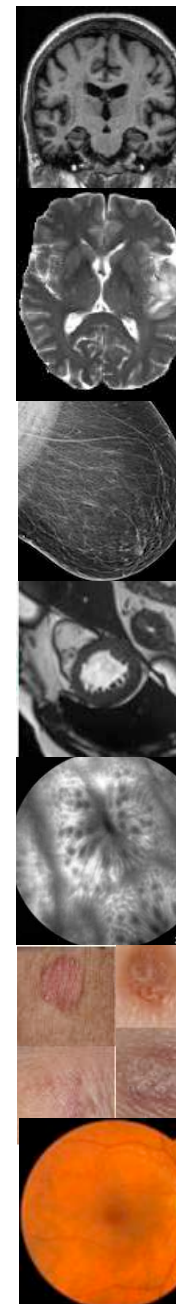
- Algorithmes, modèles et données
 - pour **analyser** les **images médicales** aussi bien qu'un expert
 - afin de guider diagnostic, pronostic, et thérapie : outils de **médecine numérique**

MICCAI depuis 20 ans

- **Pourquoi IA ?**

- Capacités d'**apprentissage**
- sur des **données** de plus en plus **complexes**, **hétérogènes**, et/ou **massives** :

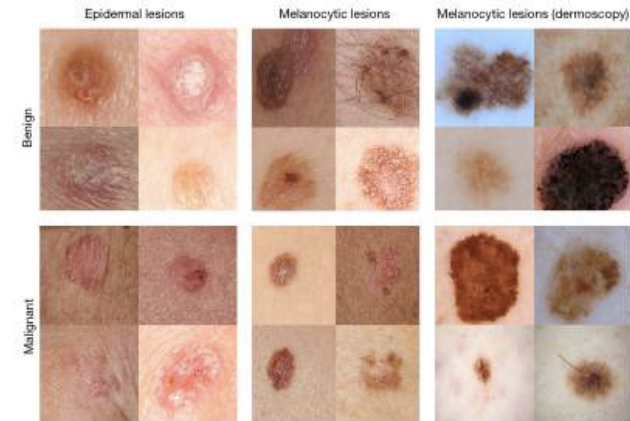
quelques exemples récents...



Fév. 2017 Dermatologie



<https://cs.stanford.edu/people/esteva/nature/>

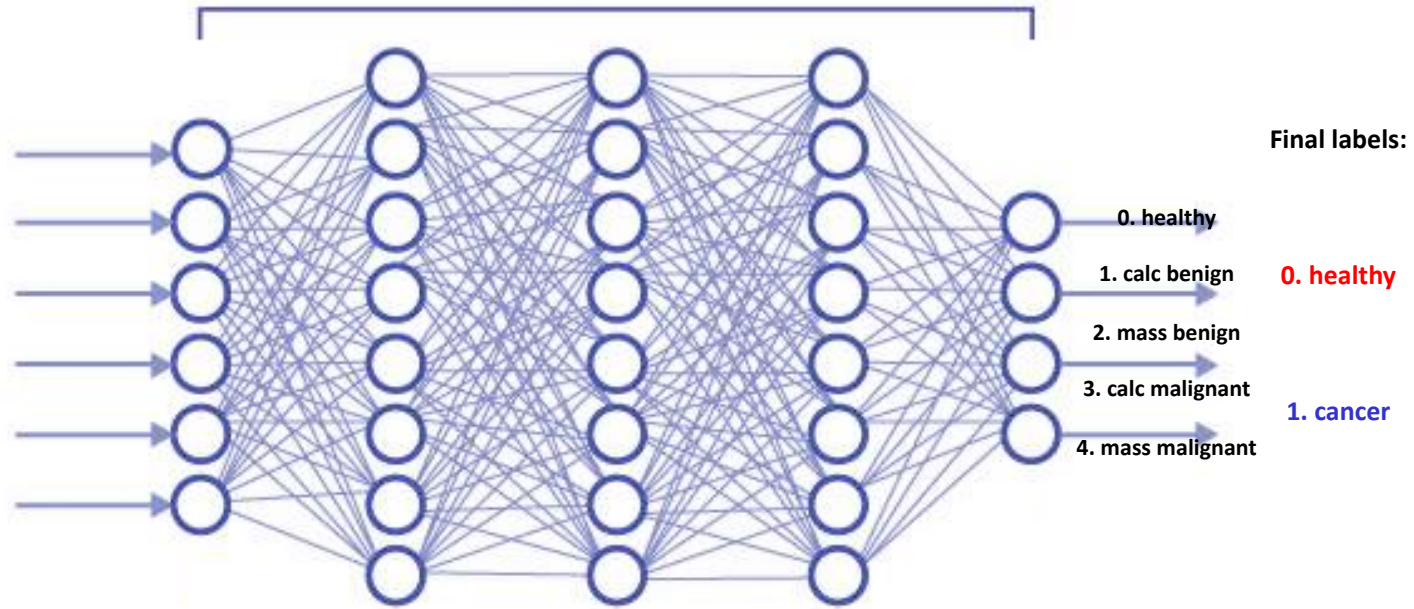


- **réseaux de neurones profonds**
- Classification de lésions (bénignes, cancéreuses)
- performances = dermatologues confirmés.
- Pré-entraînement: 1.3 Million d'images naturelles
- Apprentissage final :
 - **~130.000 lésions** couvrant 2000 pathologies

Jun 2017

Radiologie

Deep Neural Network



The Digital Mammography DREAM Challenge

Apprentissage : ~640.000 mammographies

1.200+ participants



Therapixel

Funded by
tjaf

Enabled by
DREAM CHALLENGES
powered by Sage

Sage

Coding4Cancer
Challenges for improving cancer screening

GroupHealth
RESEARCH INSTITUTE

IBM

BCSC

amazon
webservices

Leahm School of Medicine
at Mount Sinai

Seattle
Cancer Care
Alliance

RADISH

Courtesy of Therapixel

N. Ayache
2 mai 2018

Patient numérique & IA

informatiques mathématiques
Inria

Apprentissage profond : la solution universelle ?

- **Boîte noire**

- Manque d'explication
- Erreurs grossières possibles



M. Kwiatkowska

- **Immenses bases de données**

- Pas toujours disponibles
- Coût de l'étiquetage (experts)
- Représentativité : cas rares ? sujets sains ? biais ?
- Ethique : confidentialité

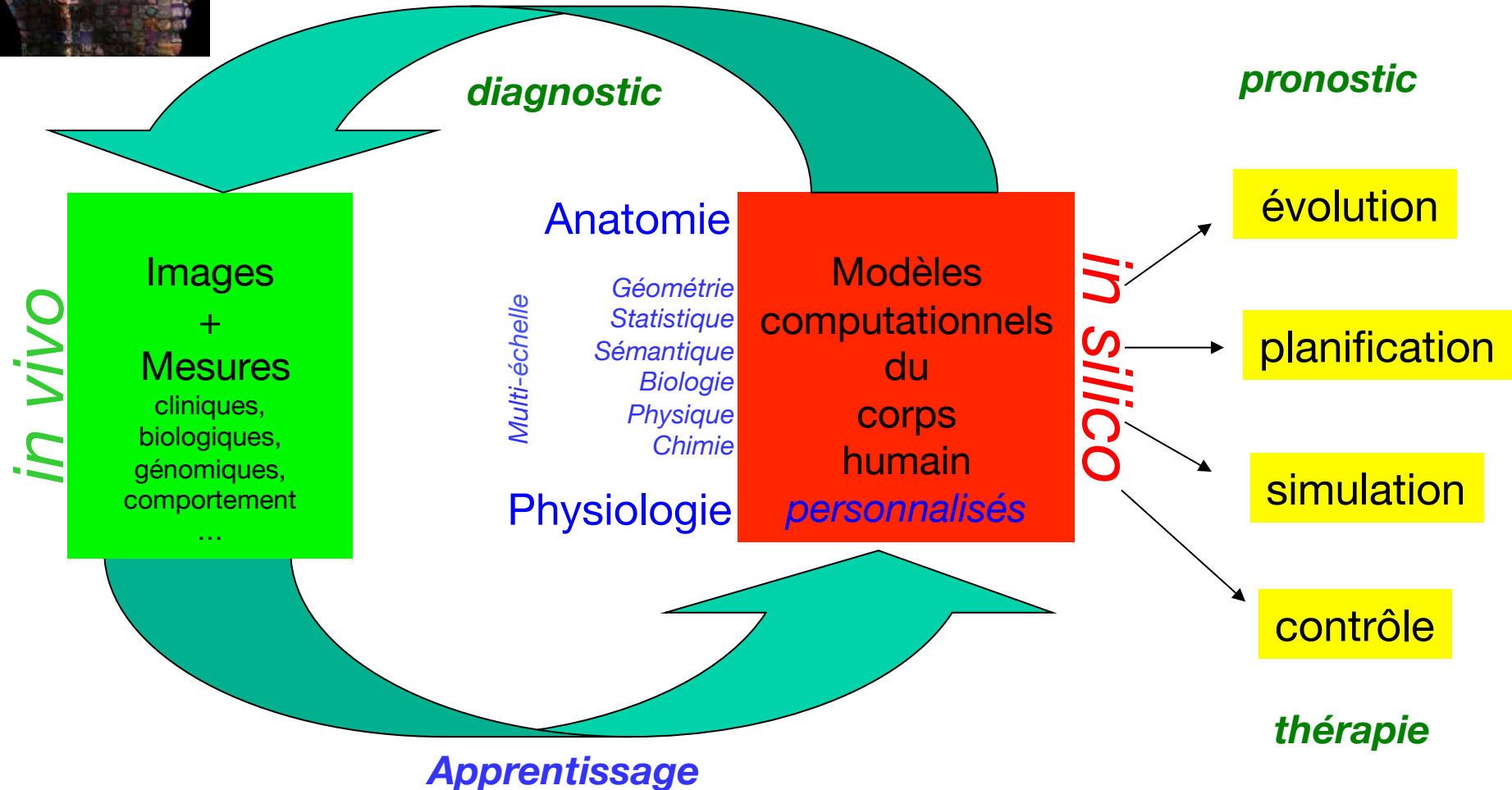
Patient numérique et IA

- Exploiter modèles anatomie & physiologie pour profiter des outils modernes d'apprentissage en surmontant certaines difficultés
- Contraindre l'apprentissage aux paramètres de modèles prédéfinis
 - donner un sens aux paramètres
 - réduire l'ensemble d'apprentissage
- Simuler des images dont l'acquisition réelle est délicate et/ou l'étiquetage coûteux.
 - compléter bases de données existantes



Le patient numérique personnalisé

Médecine numérique



N. Ayache, Leçons inaugurales du Collège de France, Fayard 2015

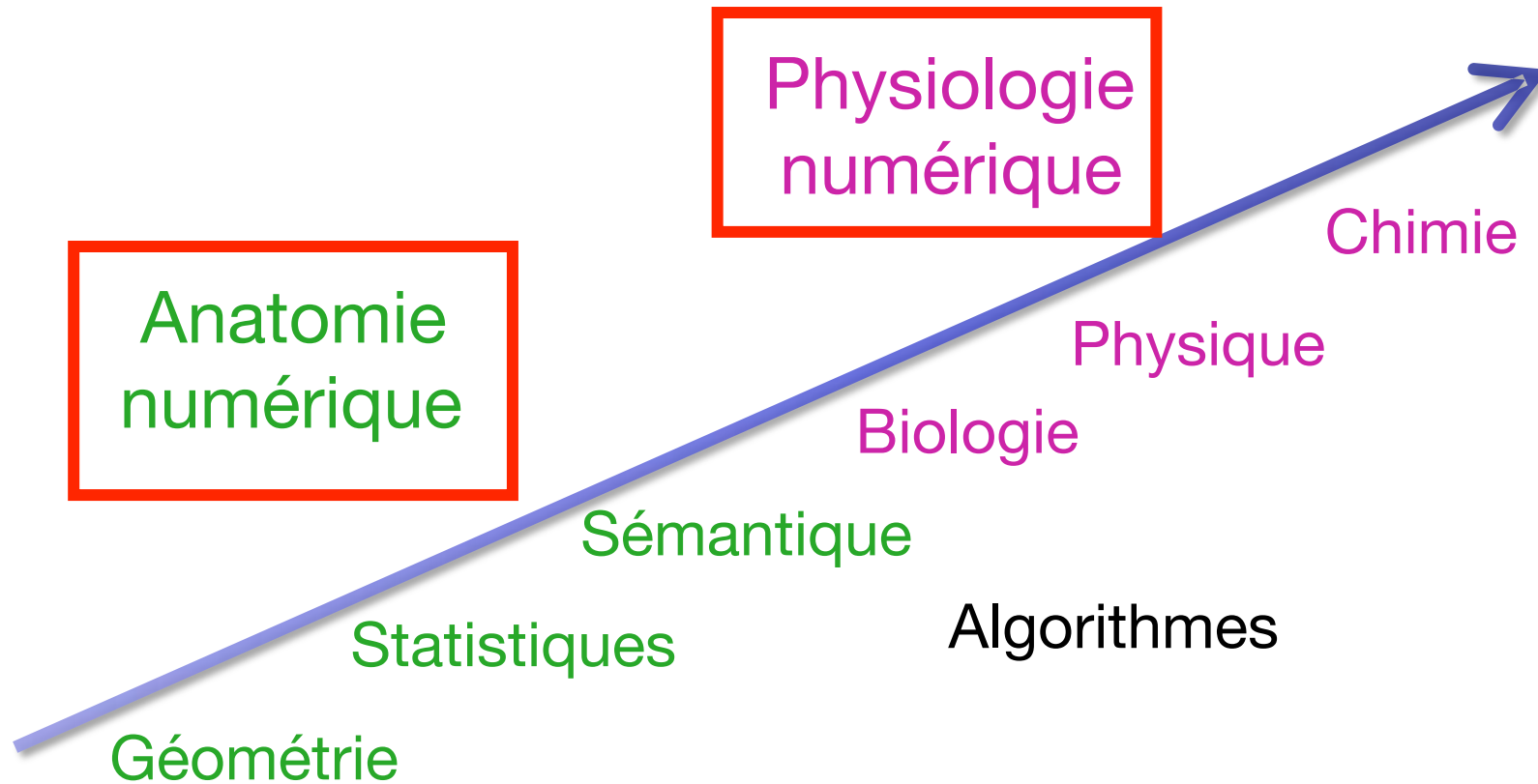
Illustrations

Quelques exemples mêlant

images, patient numérique,
apprentissage

tirés des recherches « en marche »
de notre équipe *Epione* avec ses
partenaires académiques, cliniques et industriels

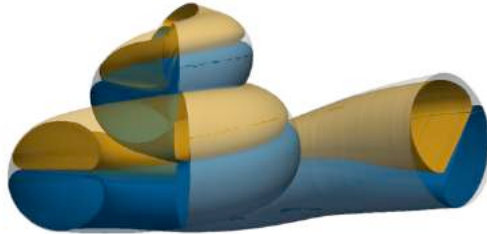
Patient numérique



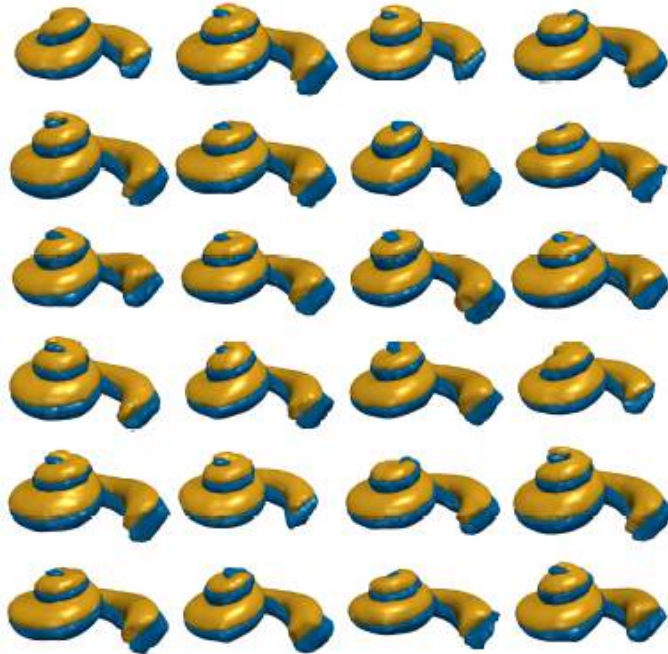
N Ayache. *Towards a Personalized Computational Patient*. IMIA Yearbook of Medical Informatics, 2016

1. Implants cochléaires

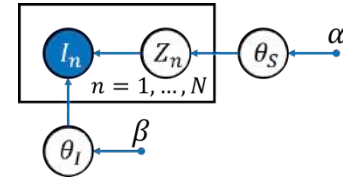
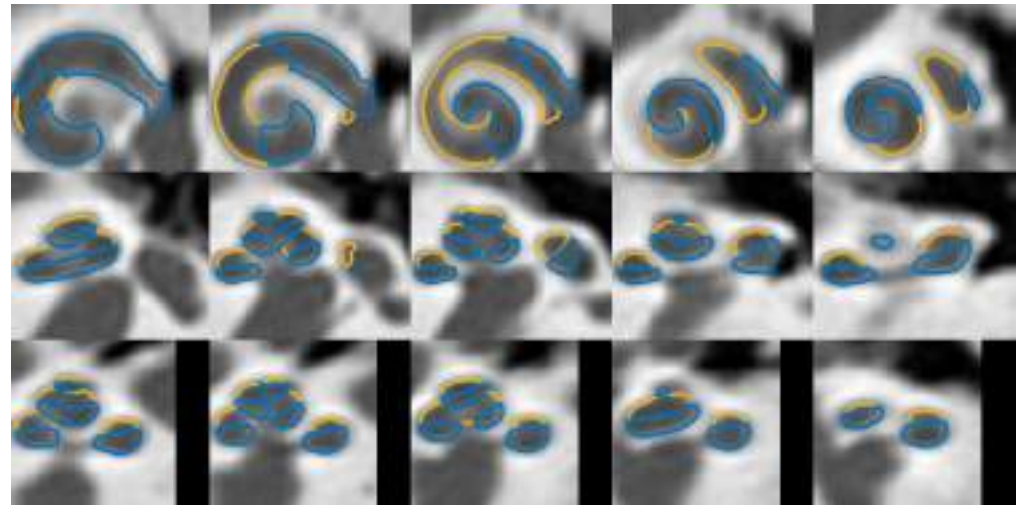
Modèle géométrique



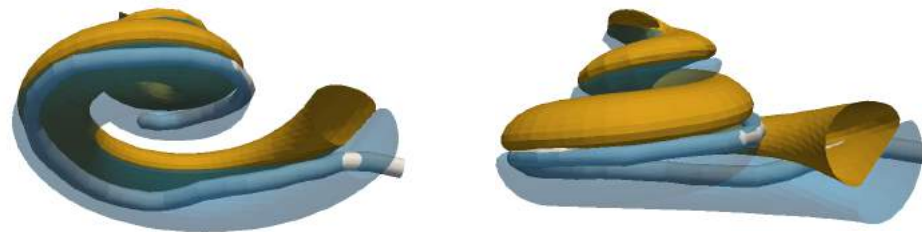
Analyse statistique ~1000 sujets



Segmentation Bayésienne



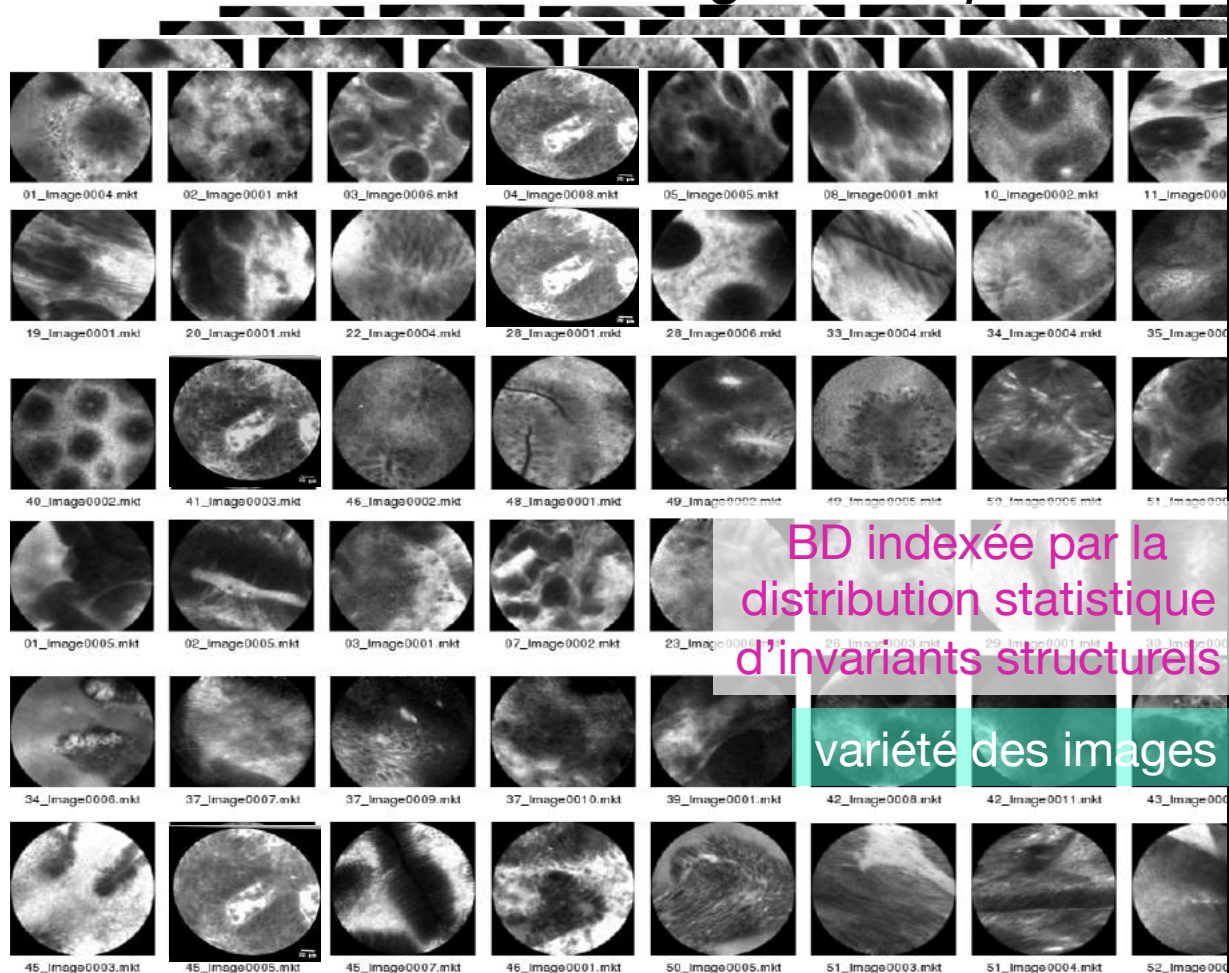
Insertion électrode



T. Demarcy, C. Vandersteen, N. Guevara, C. Raffaelli, D. Gnansia, N. Ayache, H. Delingette, *Automated analysis of human cochlea shape variability from seg. μ CT images* **Comp. Medical Imaging & Graphics 2017**

2. Endomicroscopie

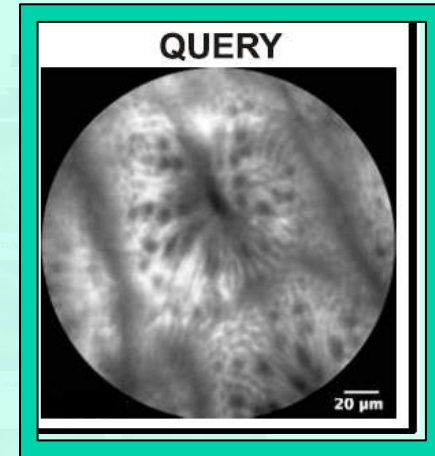
~4500 Images et expertises



BD indexée par la distribution statistique d'invariants structurels

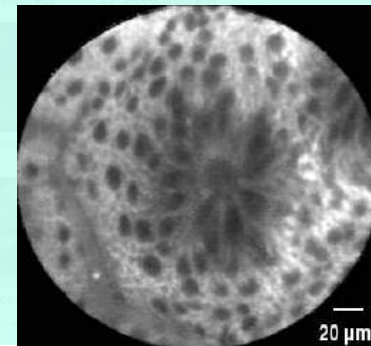
variété des images

Nouvelle image



Atlas Intelligent

Colon



Pathology: Purely Benign
Semantic features: Round crypts, Medium lumen, Normal Goblet Cells

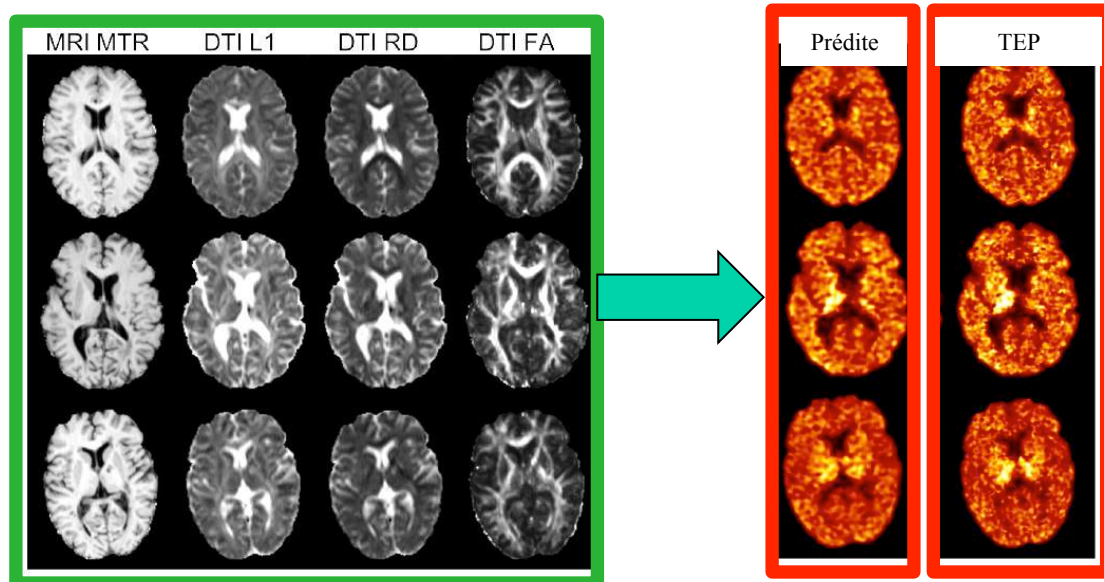
• André, Vercauteren, Wallace, Buchner, Ayache. IEEE TMI 2012

• M Kohandani Tafreshi et al., Digestive Disease Week, DDW 2014

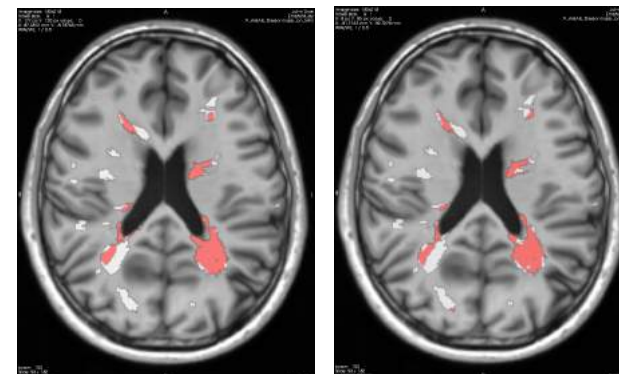
3. Lésions cérébrales

- Sclérose en plaques
- Tumeurs cérébrales

IRM pour apprendre TEP



Sclérose en plaques
Démýélinisation

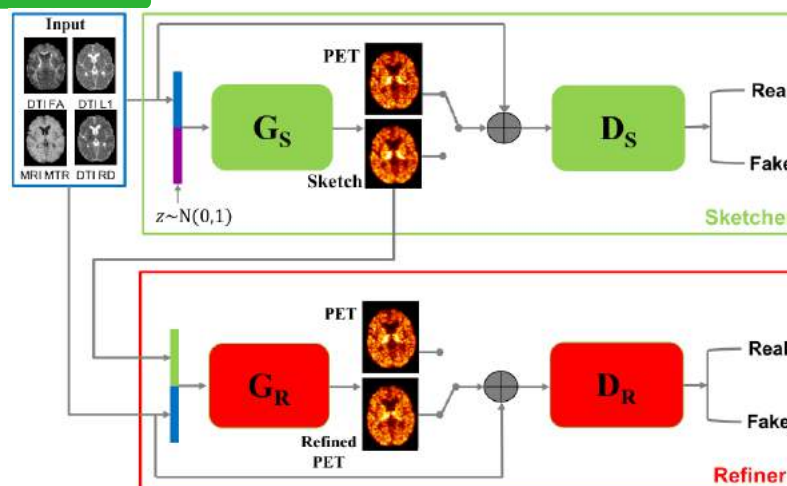


Prédiction
IRM

Marqueur
TEP

[¹¹C]PIB

Réseaux
génératifs
adversaires



Entraînement :

28 sujets
(millions de voxels)

W. Wei, E Poirion, B Bodini, S Durrleman, N Ayache, B Stankoff, O Colliot. Learning Myelin Content in Multiple Sclerosis from Multimodal MRI through Adversarial Training. *ArXiv 2018*

N. Ayache
2 mai 2018



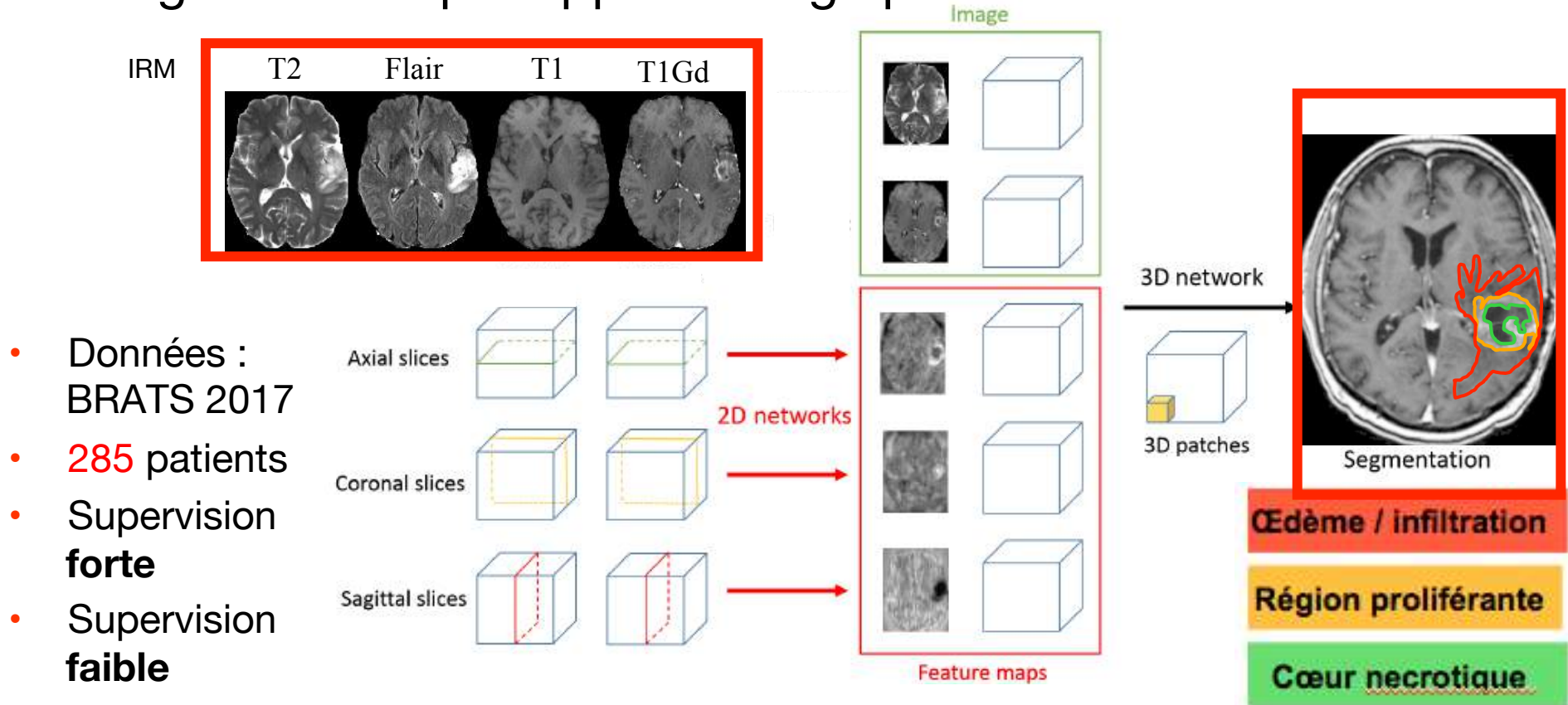
Patient numérique & IA



13

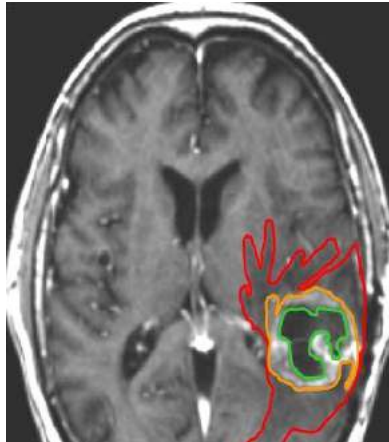
Tumeurs cérébrales

Segmentation par apprentissage profond



P. Mlynarski, H Delingette, A Criminisi, and N Ayache. Fusion of 2D and 3D Neural Networks for Tumor Segmentation in Multisequence MR Images. *IEEE Tr. on Medical Imaging*, under revision, 2018.

Modèle biophysique



Cellules tumorales

Proliférantes

Quiescentes

Nécrosées

Evolution densité :

réaction- diffusion + transitions statistiques (vascularisation)

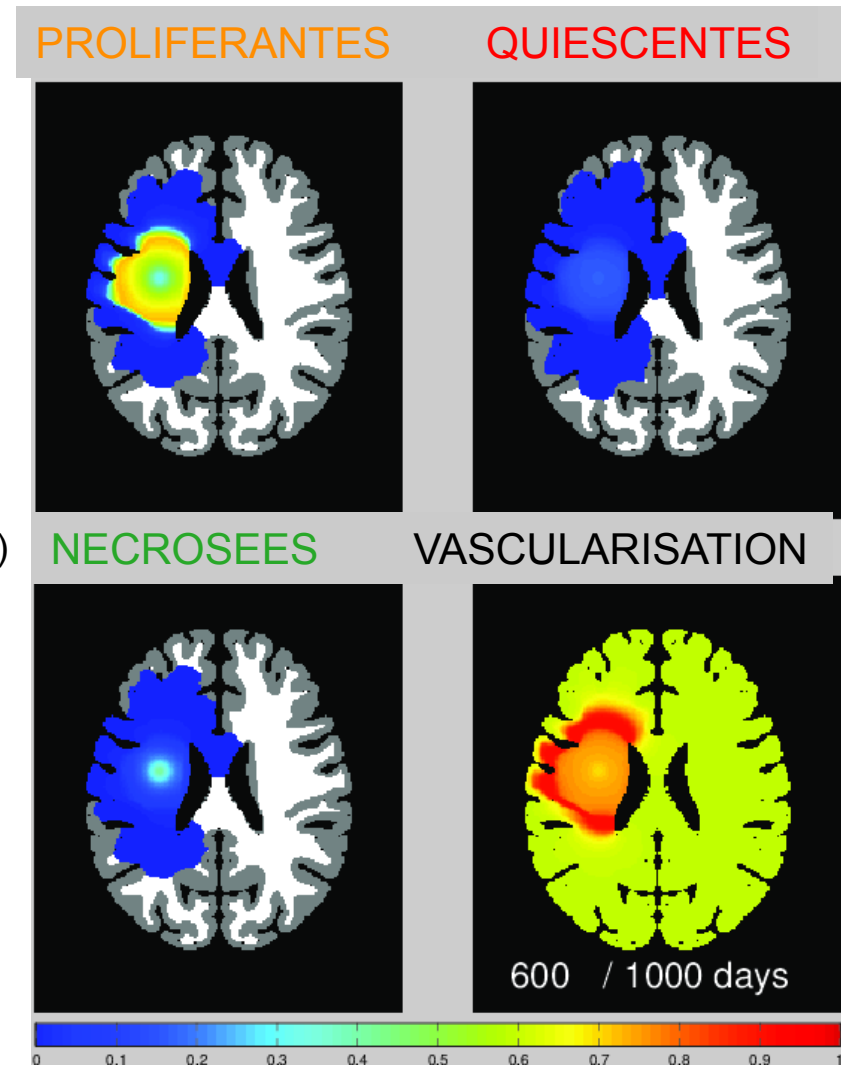
$$\frac{\partial P}{\partial t} = \nabla \cdot (D_P(1 - T)\nabla P) + \rho P(1 - T)$$

$$- \lambda_{P \rightarrow Q} P - \lambda_{P \rightarrow N} P + \lambda_{Q \rightarrow P} Q$$

$$\frac{\partial Q}{\partial t} = \nabla \cdot (D_Q(1 - T)\nabla Q)$$

$$- \lambda_{Q \rightarrow P} Q - \lambda_{Q \rightarrow N} Q + \lambda_{P \rightarrow Q} P$$

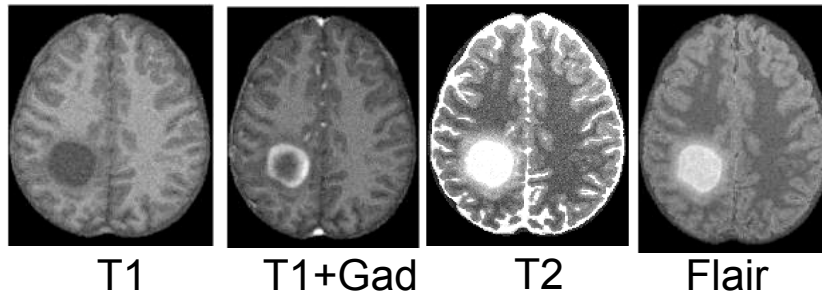
$$\frac{\partial N}{\partial t} = + \lambda_{P \rightarrow N} P + \lambda_{Q \rightarrow N} Q$$



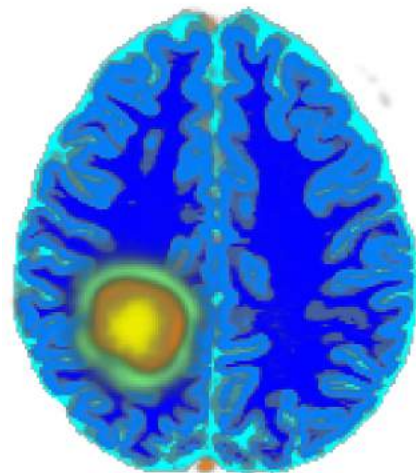
T. Colin, O. Saut et al., M. Le 2012

Apprendre densité tumorale

4 x 500 IRM Simulées



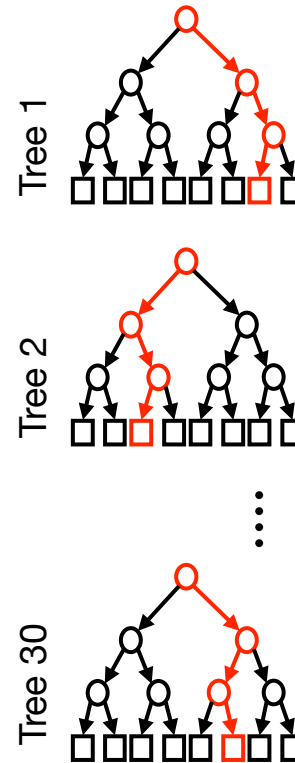
Simulateur



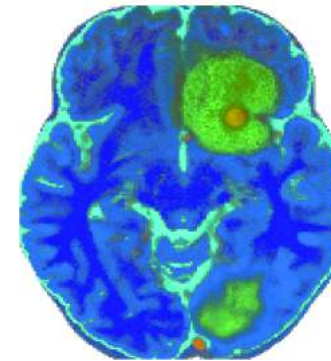
- Grey matter
- White matter
- LCR
- necrosis
- vessels
- œdema

Univ Utah

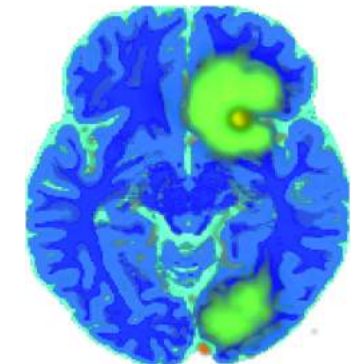
Apprentissage statistique



Validation sur 200 IRM simulées

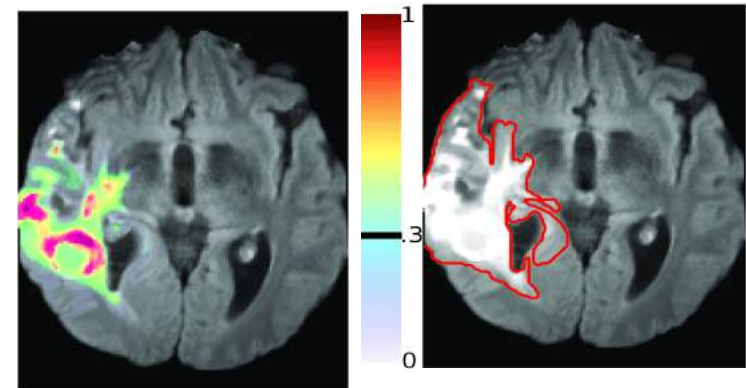


prediction



vérité

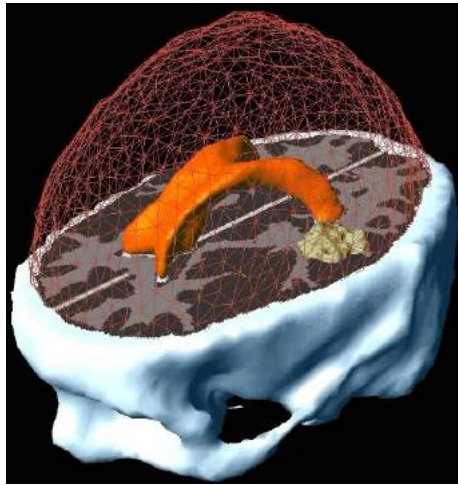
Transfert aux images réelles



E Geremia, B H. Menze, M Prastawa, MA Weber, A Criminisi, and N Ayache. LNCS, 2012.
N. Cordier, H Delingette, M Lê, N Ayache. IEEE Tr. on Medical Imaging, 2016.

Radiothérapie personnalisée

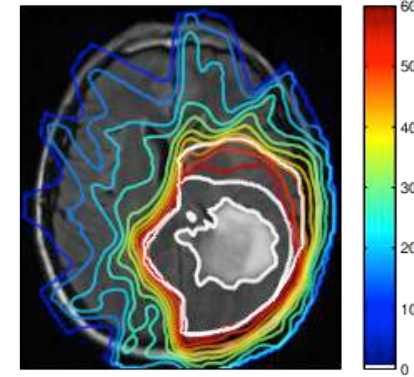
O. Clatz



Mass. General Hospital, Boston

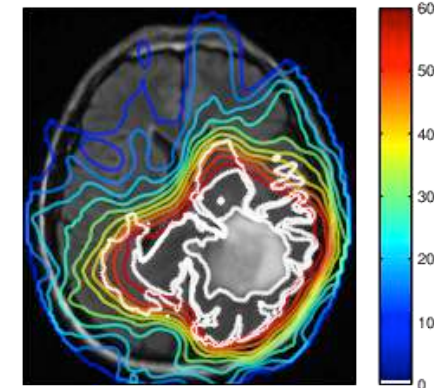


Dosimétrie standard



GTV : 60 Gy - T1Gd + 2cm
CTV 46 Gy - T2Flair + 1.5cm

Dosimétrie optimisée



Traitement personnalisé

Migration + prolifération

$$\frac{\partial c}{\partial t} = \nabla \cdot (D \nabla c) + \rho c(1 - c)$$

Fisher-Kolmogorov

$$\min_d \sum_{i \in T} c_i \exp\left(-d_i \left(\alpha + \frac{\beta}{\alpha N_f} d_i\right)\right)$$

$$\text{subject to } \frac{1}{N_T} \sum_{i \in T} d_i \leq d^p$$

Modèle
densité cellules
tumorales

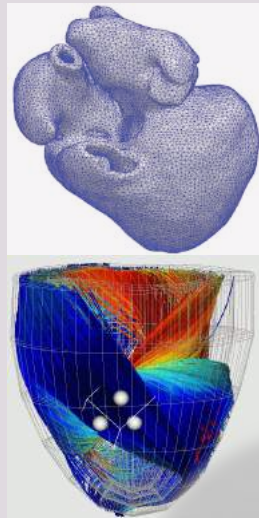
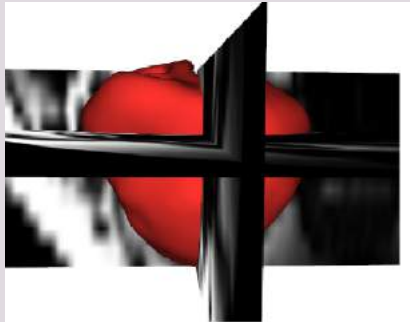
Modèle de
radiothérapie

Dose maxi
autorisée

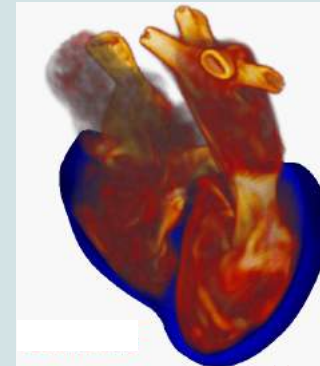
- M Lê, H Delingette, ..., J Unkelbach, N Ayache. IEEE Tr. on Medical Imaging 2016

4. Cardiologie

1. Structure

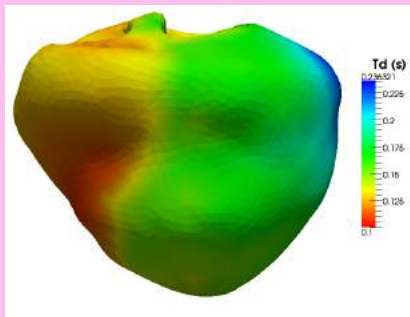


4. Hémodynamique

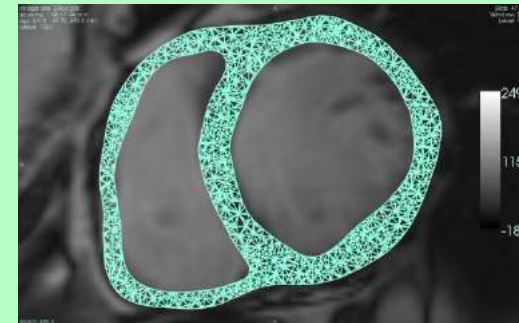


D. Comaniciu

2. Electrophysiologie



3. Mécanique

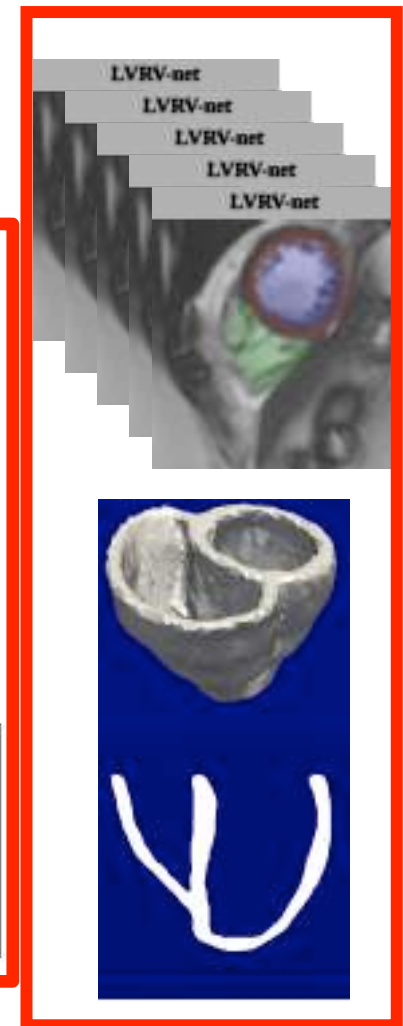
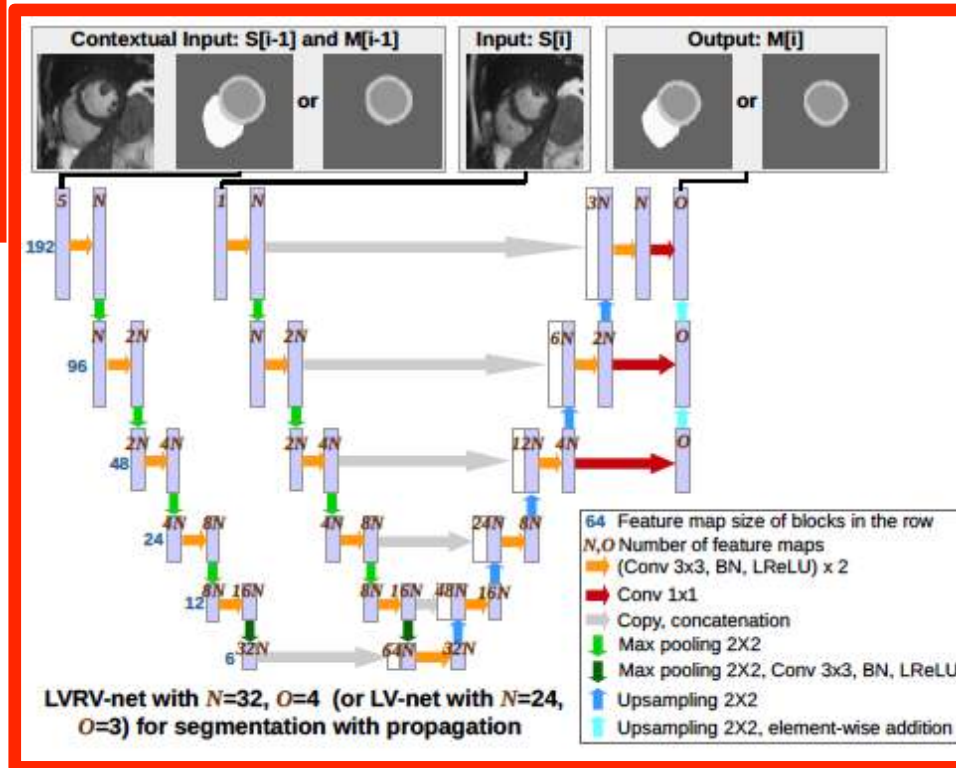


Géométrie des ventricules

Apprentissage profond



- **Entraînement :**
UK Biobank :
4000 sujets
- Thanks to :
 - S Petersen
 - D. Rueckert et al.

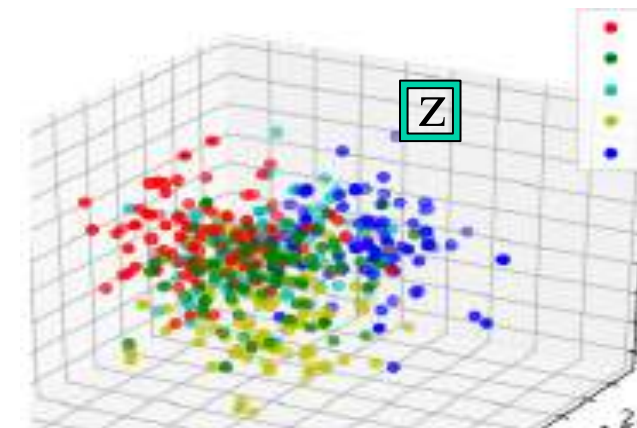
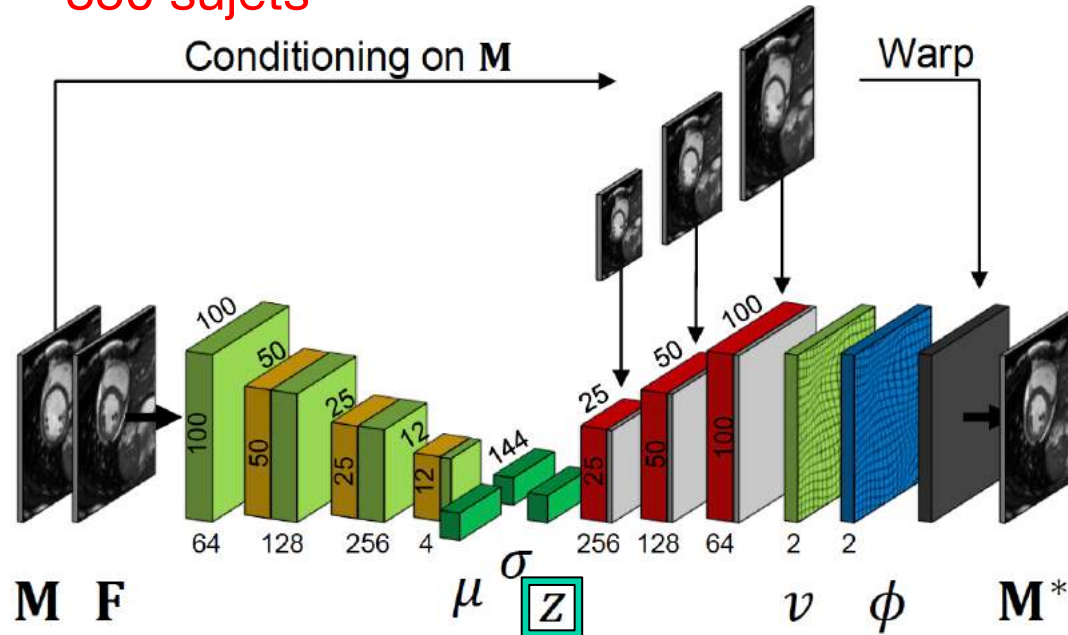


Q. Zheng, H Delingette, N Duchateau, N Ayache. 3D Consistent & Robust Segmentation of Cardiac Images by Deep Learning with Spatial Propagation. [IEEE Transactions on Medical Imaging, 2018.](#)

Apprendre les déformations ?

- Recalage entre images diastole et systole
- Auto Encodeur Variationnel Conditionnel
- 350 sujets

diastole systole

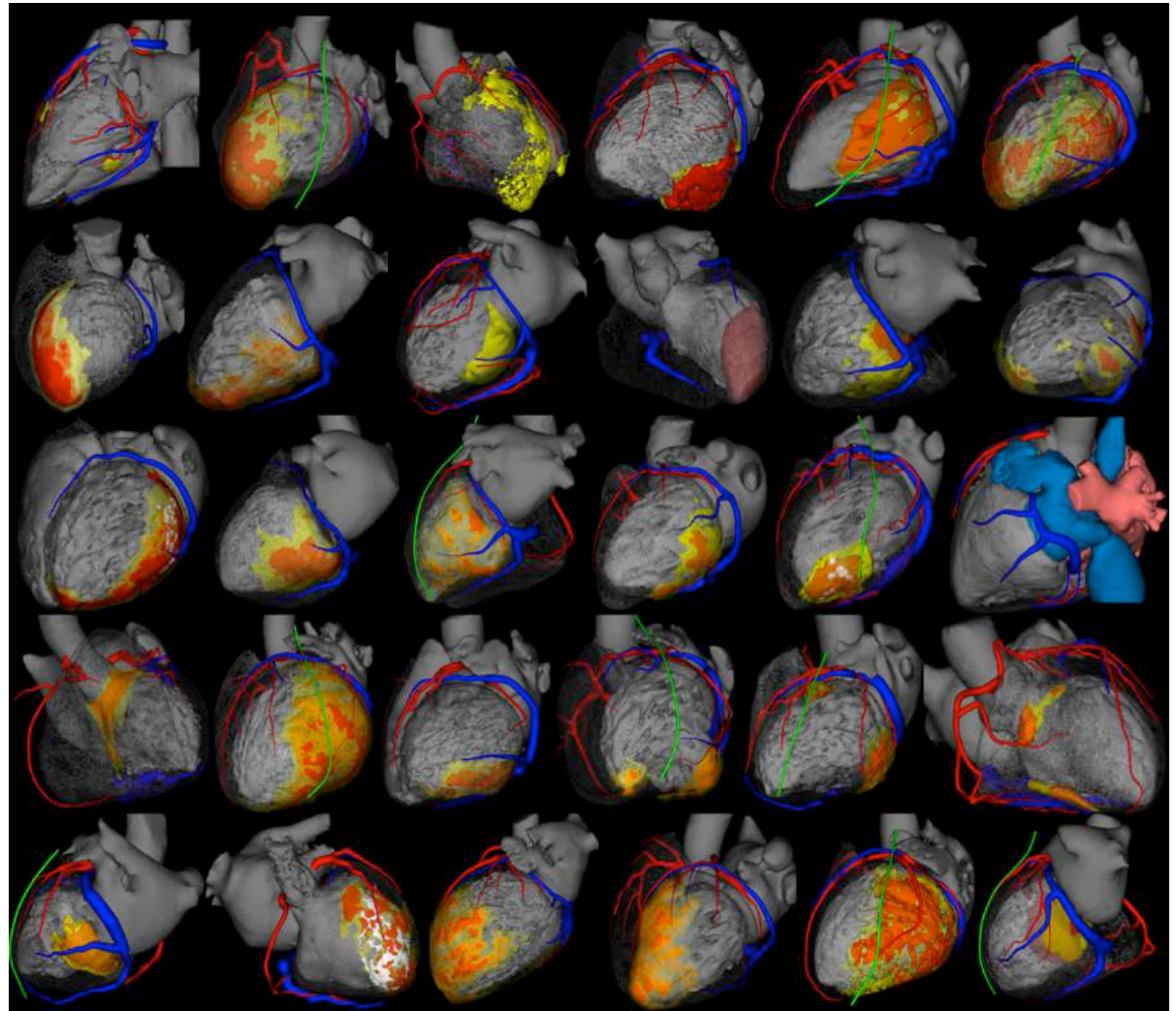
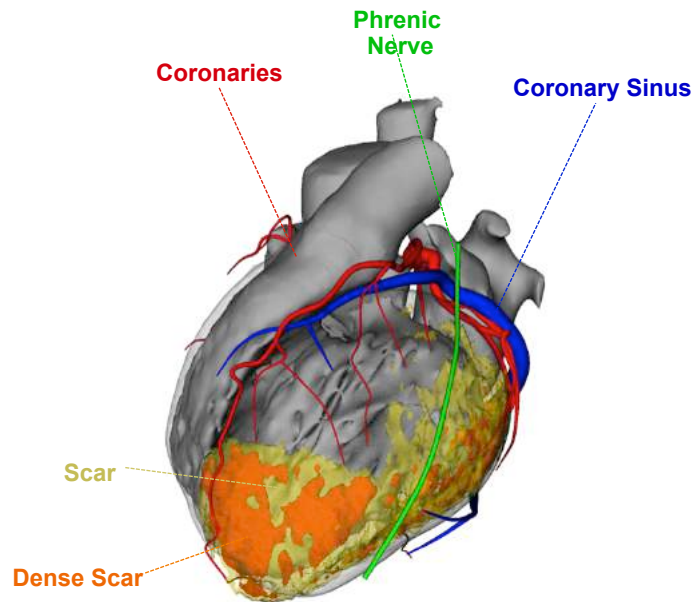
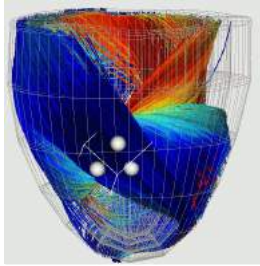


Normaux
 Cardiomyopathies hypertrophiques
 Cardiomyopathies dilatées
 Infarctus du myocarde
 Anomalies du ventricule droit

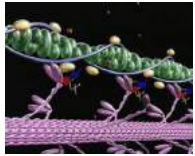
$$l(\omega, \gamma, F, M) = -E_{z \sim q_{\omega}(\cdot | F, M)} [\log p_{\gamma}(F | z, M)] + KL [q_{\omega}(z | F, M) || p(z)]$$

J Krebs, T Mansi, B Mailhé, N Ayache, H Delingette.
 Learning Structured Deformations using Diffeomorphic Registration. ArXiv 2018.

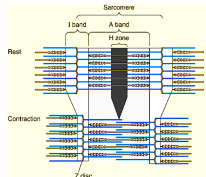
Modèle anatomique



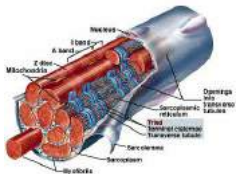
ATP



sarcomères



fibres



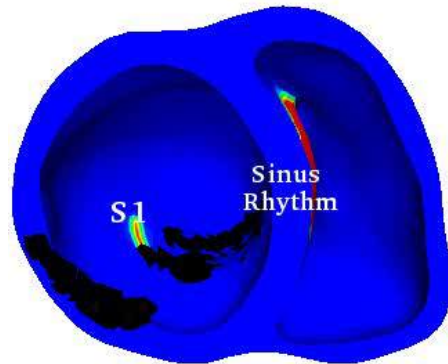
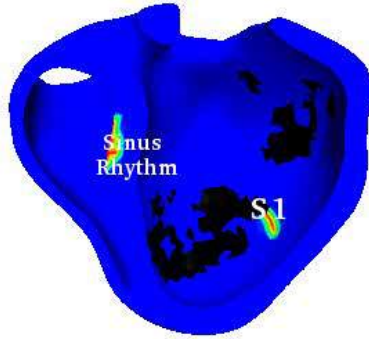
organe



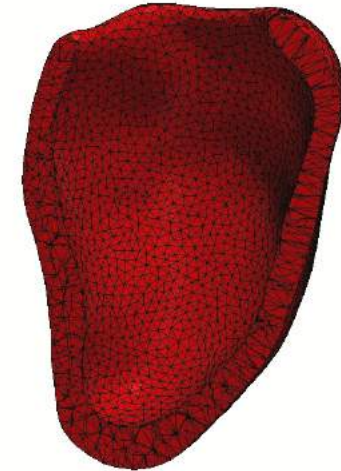
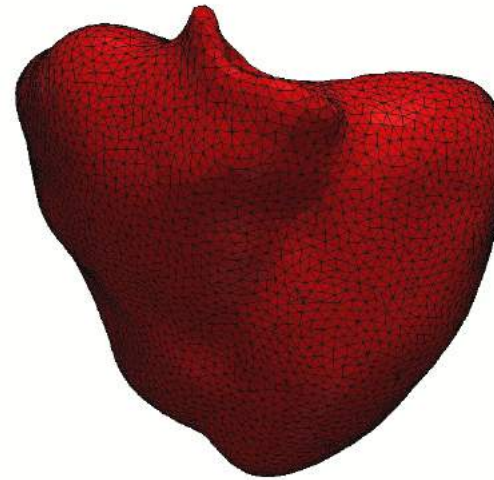
Modèle biophysique



électrique



mécanique



$$\begin{cases} \partial_t u = \operatorname{div}(d_{MS} \mathbf{M} \nabla u) + \frac{zu^2(1-u)}{\tau_{in}} - \frac{u}{\tau_{out}} + J_{stim}(t) \\ \partial_t z = \begin{cases} \frac{(1-z)}{\tau_{open}} & \text{if } u < u_{gate} \\ \frac{-z}{\tau_{close}} & \text{if } u > u_{gate} \end{cases} \end{cases}$$

$$\rho \ddot{\mathbf{P}} - \operatorname{div}(K_p \mathcal{E}_p + C_p \dot{\mathcal{E}}_p + \sigma_c + C_c \dot{\mathcal{E}}_c + K_c \xi_0) = 0$$

$$\partial_t K_c = K_0 |u|_+ - (|\dot{\mathcal{E}}_c| + |u|) K_c$$

$$\partial_t \sigma_c = \sigma_0 |u|_+ - (|\dot{\mathcal{E}}_c| + |u|) \sigma_c + K_c \dot{\mathcal{E}}_c$$

$$\sigma_c + C_c \dot{\mathcal{E}}_c + K_c \xi_0 = K_s (\mathcal{E}_p - \mathcal{E}_c)$$

K_c raideur
 u potentiel d'action
 \mathcal{E}_c déformation
 σ_c contrainte

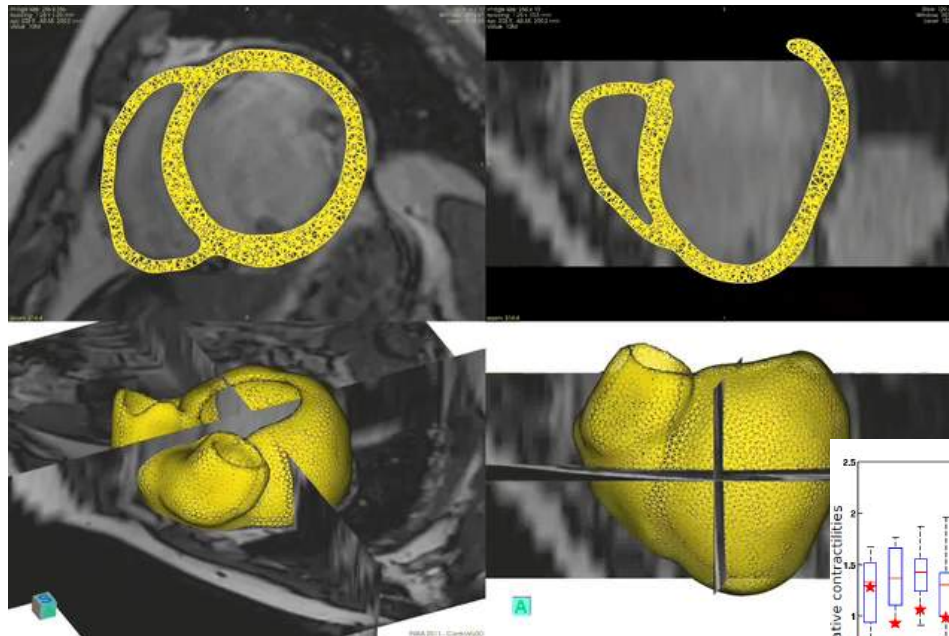
- Chen, Cabrera, Relan, ..Delingette, Ayache, Sermesant, Razavi: J. of Cardiovascular Electrophysiology, 2016.
- Marchesseau, Delingette, Sermesant, Ayache. Biomechanics and Modeling in Mechanobiology, 2012

Apprentissage

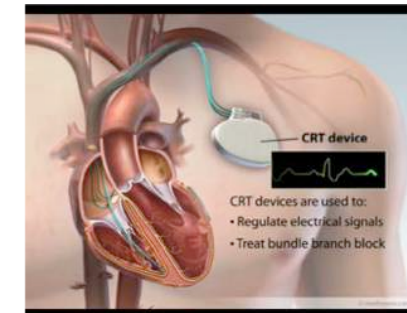
par filtrage optimal

quantifier

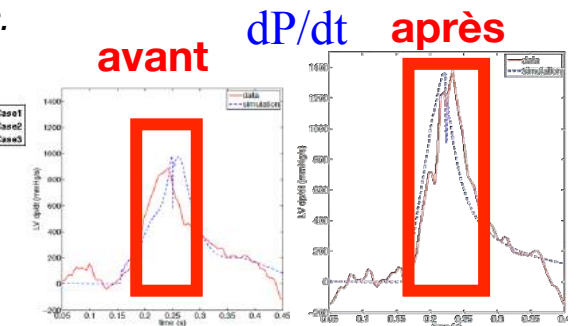
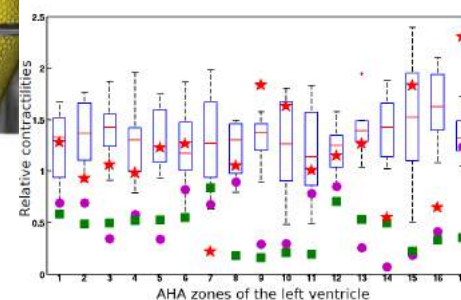
prédire



contractilité,
raideur,
taux relaxation,
taux contraction,
viscosité,
compressibilité,
résistance
périphérique, etc.



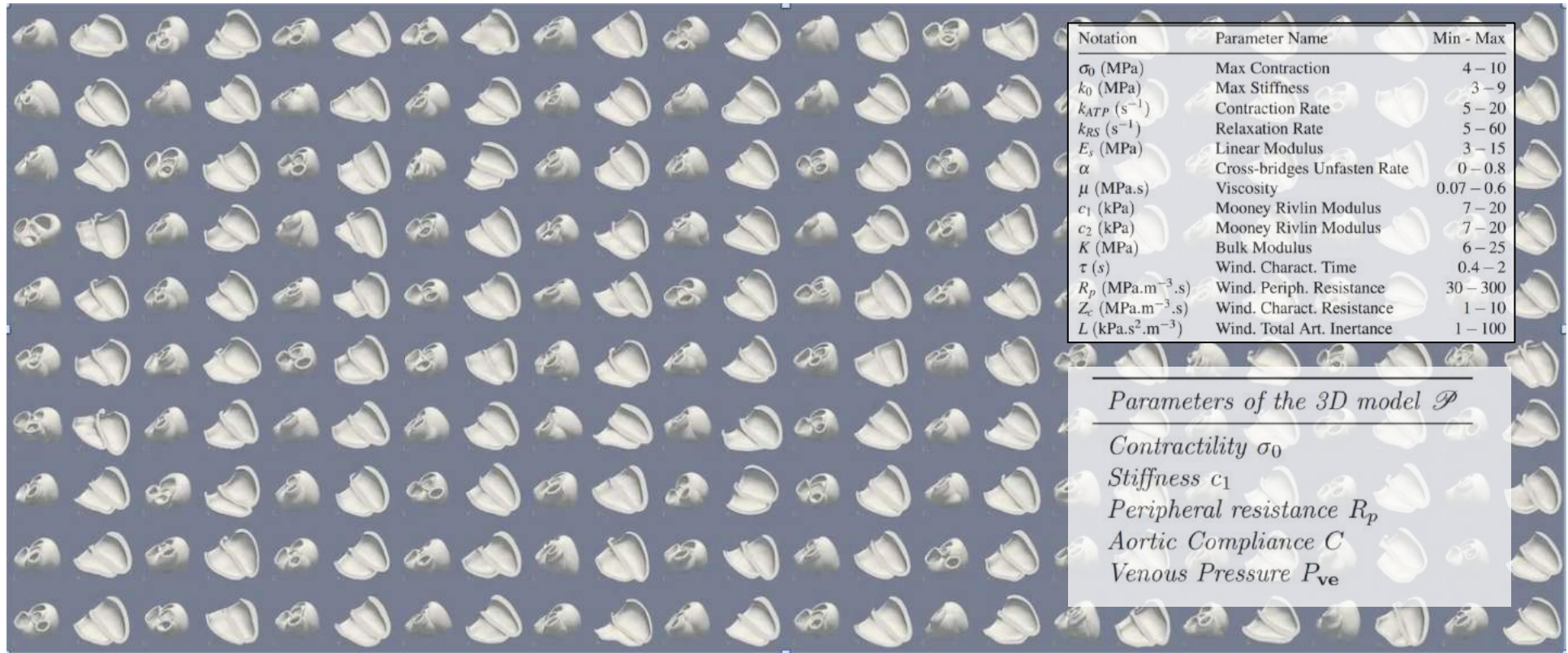
Insuffisance cardiaque



Marchesseau, S., Delingette, H., Sermesant, M., Cabrera-Lozoya, R., Tobon-Gomez, C., Moireau, P., Figueras, R., Lekadir, K., Hernandez, A., Garreau, M., Donal, E., Leclercq, C., Duckett, S., Rhode, K., Rinaldi, C., Frangi, A., Razavi, R., Chapelle, D., and Ayache, N. *Personalization of a Cardiac Electromechanical Model using Reduced Order Unscented Kalman Filtering from Regional Volumes.* [Medical Image Analysis 2013](#)

120 cœurs personnalisés

Apprentissage par optimisation multi-fidélité et *a priori* statistique



R Molléro, X Pennec, H Delingette, A Garny, N Ayache, M Sermesant. *Multifidelity-CMA for efficient personalisation of 3D cardiac electromechanical models*. *Biomechanics and Modeling in Mechanobiology*, 2017.

Atlas intelligent du futur



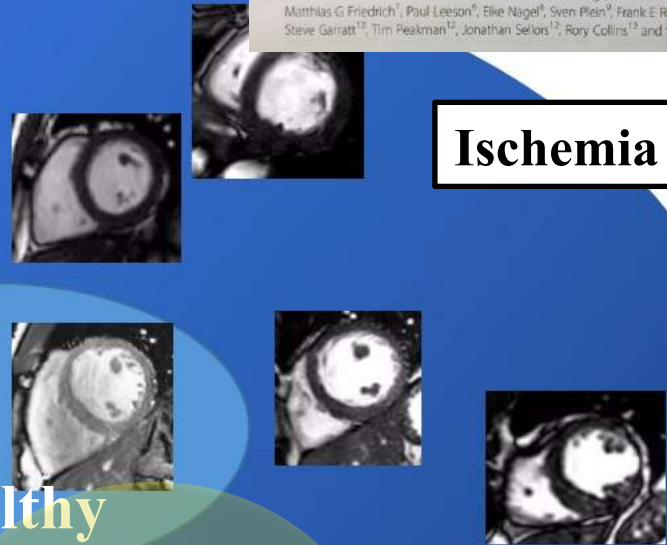
Nouvelle séquence

variété des images

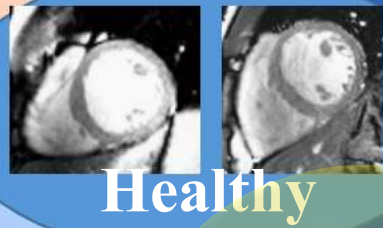
Tetralogy of Fallot



Ischemia



Forme
Mouvement



Healthy

Asynchrony



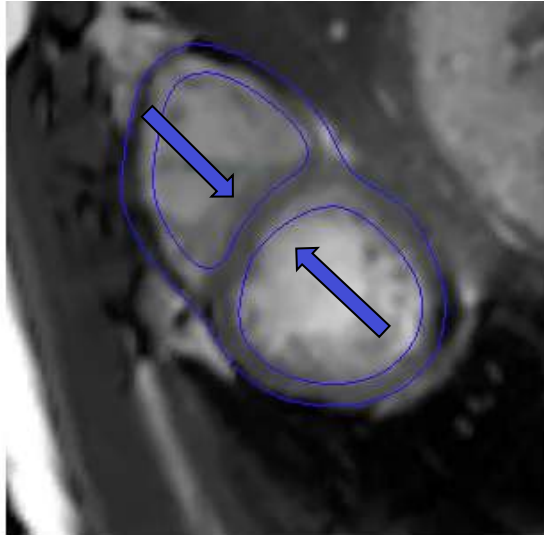
Low function (EF)
Inferior infarction
Slight LV dilation
Good candidate for CRT



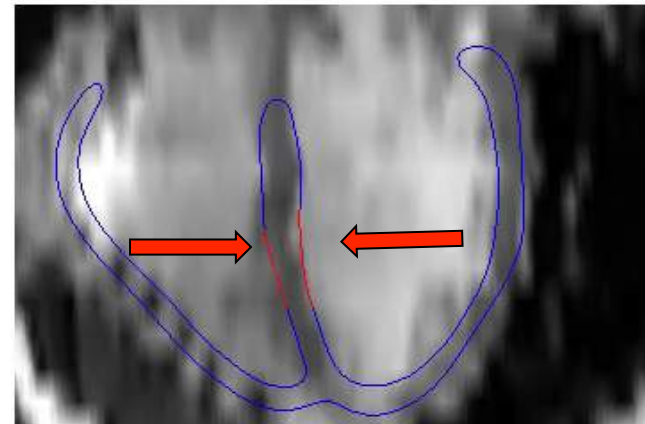
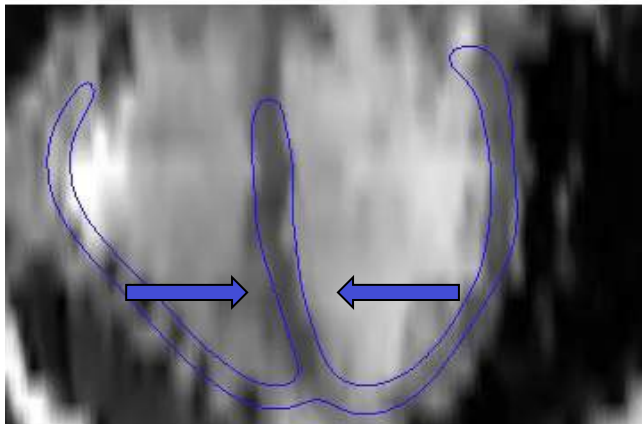
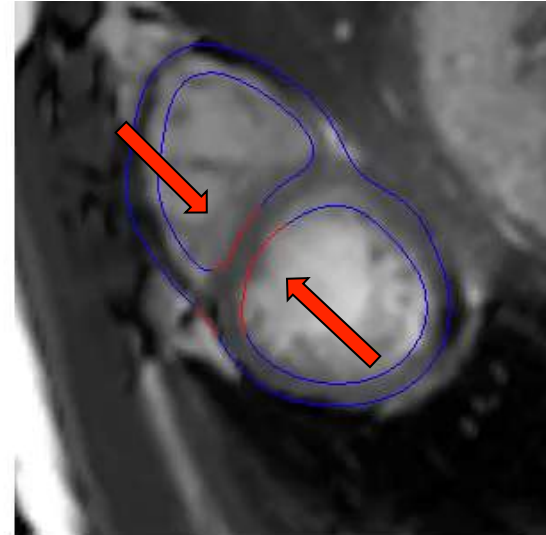
Margeta et al. 2015
Le Folgoc et al. 2017

Augmenter les données

normal



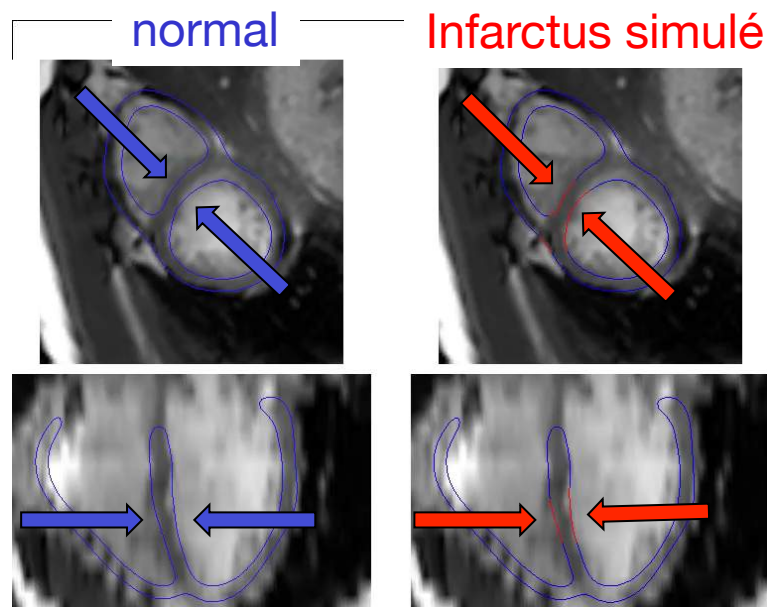
Infarctus simulé



- N Duchateau, M. Sermesant, H Delingette, N Ayache. *IEEE Tr. on Medical Imaging*, 2018.

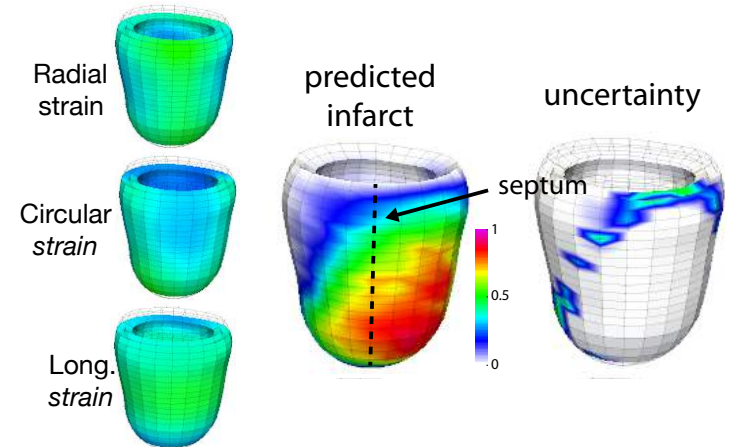
Apprendre infarctus par la simulation

- 15 séquences normales
- 450 séquences simulées infarctus : localisation, étendue, gravité variables

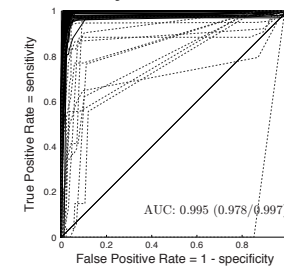


- **détection & localisation infarctus**

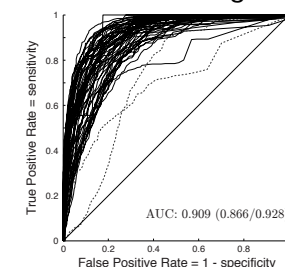
Régression sur les déformations, espace réduit



500 Synthetic meshes



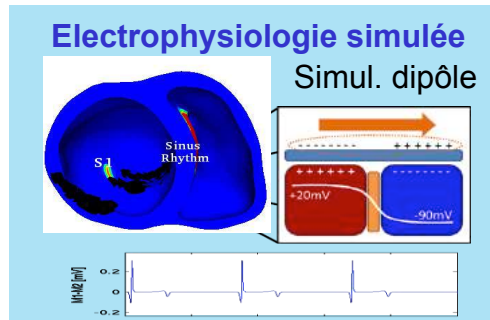
200 Real images



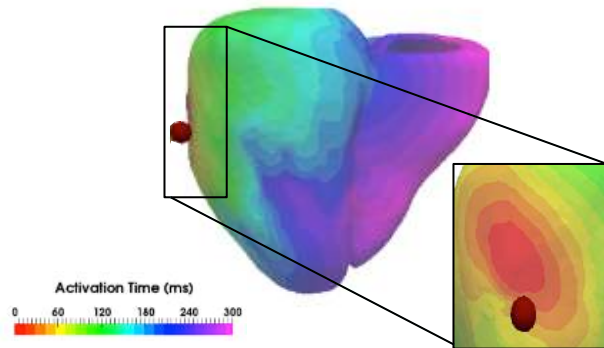
- N Duchateau, M. Sermesant, H Delingette, N Ayache. IEEE Tr. on Medical Imaging, 2018.
- N Duchateau, P Allain, E Saloux, M Sermesant IEEE Tr. on Med Imaging, 2016

Apprendre l'électrophysiologie par la simulation

- Personnaliser électrophysiologie

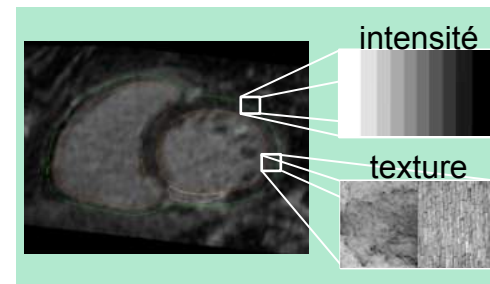


- régression bayésienne parcimonieuse
Point de départ + vitesse de conduction

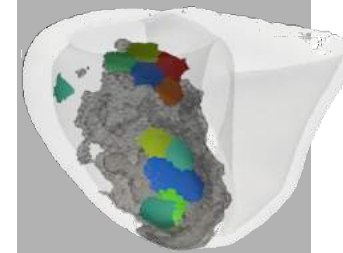


- Prédire anomalies de conduction
- Forêts aléatoires :

texture + simulation EP

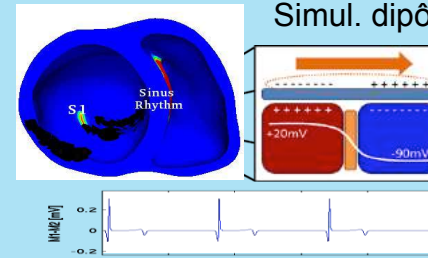


LAVAs: Local Abnormal Ventricular Activation



Cibles ablation

Electrophysiologie simulée
Simul. dipôle



S Giffard-Roisin, Jackson, Fovargue, Lee, Delingette, Razavi, Ayache, Sermesant, IEEE TBME 2017 + 2018

R Cabrera-Lozoya, B Berte, H Cochet, P Jaïs, N Ayache, M Sermesant. IEEE TBME 2016 + 2018

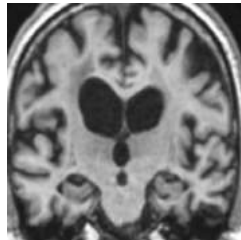
Pour finir

- Vers des données « holistiques »
 - Images & signaux
 - Biologie, génétique, métabolomique, etc.
 - Comportement, style de vie, etc.

Bases de données : ADNI, Enigma, UK Biobank, Insight, etc.

Neuropsychiatrie numérique

Prise en charge
de patients avec une
maladie neuropsychiatrique



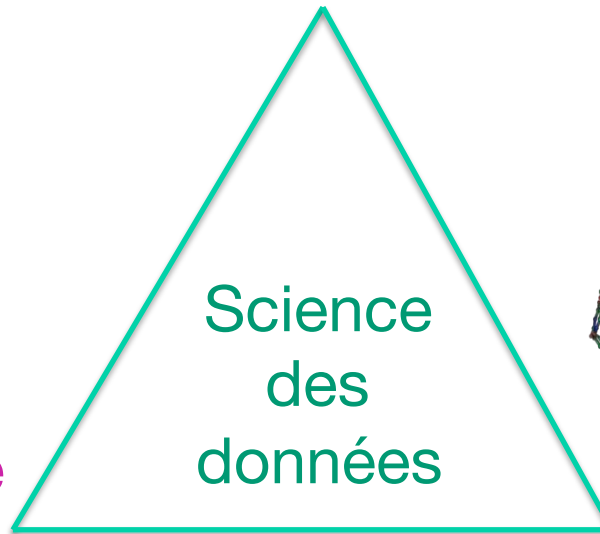
baseline
Images

MNC³

I dex UCA^{Jedi}
Inria, UNS,
CHU, IPMC,
CoBTeK



Mouvement/activité



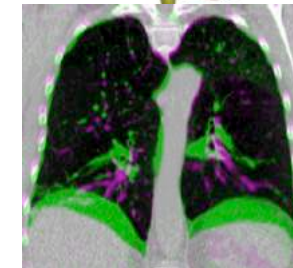
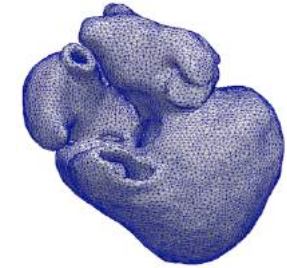
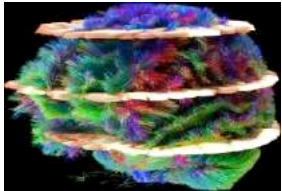
Science
des
données



Biologie/génomique

L. Antelmi, C. Abi-Nader, V. Manera, P. Robert, N. Ayache, M Lorenzi. A method for statistical learning in large databases of heterogeneous imaging, cognitive and behavioural data: proof of concept. [Epiclin 2018](#).

Patient numérique et IA



De nouveaux outils informatiques au service d'une médecine

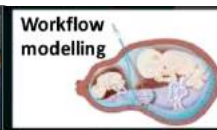
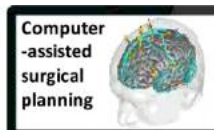
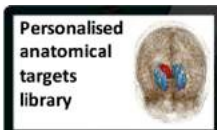
plus **p**ersonnalisée

plus **p**récise

plus **p**rédictive

plus **p**réventive

Pour mieux soigner le **patient réel**





Patient numérique et IA



De nouveaux outils informatiques
pour **assister** le médecin,
pas pour le **remplacer** :

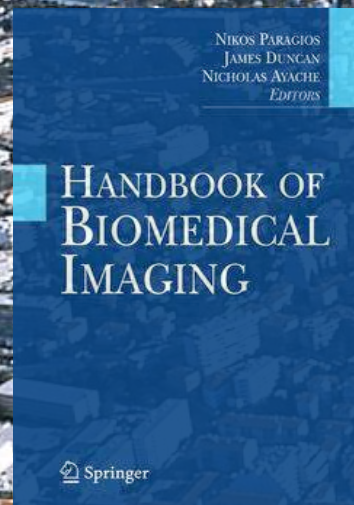
- c**ompassion
- c**ompréhension
- c**réativité
- esprit **c**ritique
- c**onscience professionnelle

Intelligence
naturelle



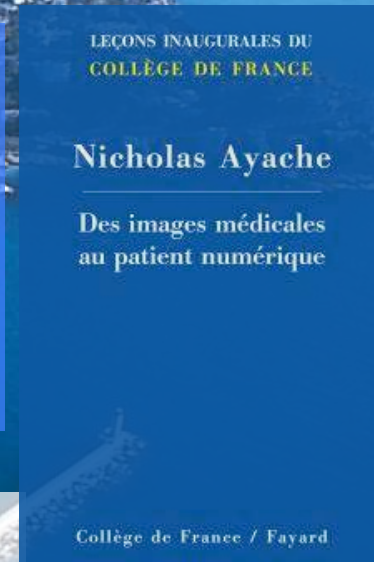
Philosophie magazine 04/18

Remerciements



Equipe Inria Epione
Collaborateurs et partenaires

- Académiques
- Cliniques
- Industriels



Medical Image Analysis Journal
20th anniversary special issue (free access)



team.inria.fr/Epione/

www.college-de-france.fr

complément

Ophthalmologie

Fév. 2018

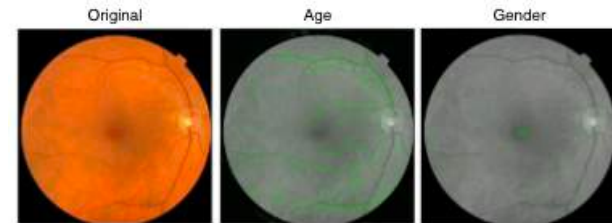
ARTICLES

<https://doi.org/10.1038/s41551-018-0195-0>

nature
biomedical engineering

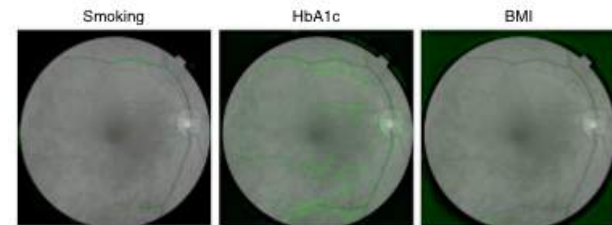
Prediction of cardiovascular risk factors from retinal fundus photographs via deep learning

- Apprentissage : ~300 000 patients



Actual: 57.6 years
Predicted: 59.1 years

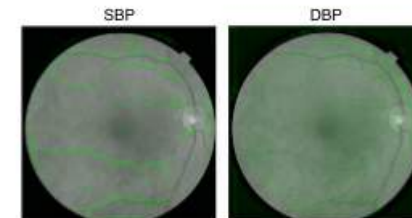
Actual: female
Predicted: female



Actual: non-smoker
Predicted: non-smoker

Actual: non-diabetic
Predicted: 6.7%

Actual: 26.3 kg m⁻²
Predicted: 24.1 kg m⁻²



Actual: 148.5 mmHg
Predicted: 148.0 mmHg

Actual: 78.5 mmHg
Predicted: 86.6 mmHg

Déc. 2016

JAMA | Original Investigation | INNOVATIONS IN HEALTH CARE DELIVERY

Development and Validation of a Deep Learning Algorithm for Detection of Diabetic Retinopathy in Retinal Fundus Photographs

- Apprentissage : ~130 000 patients

IDx-DR
FDA Approved
April 2018

Imagerie & génétique

Maladie d'Alzheimer

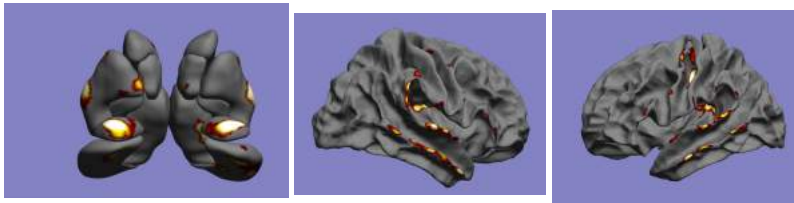
UCL

Analyser covariance (PLS) :

600 patients

Phénotypes IRM : $\sim 10^5$ mesures
atrophie matière grise

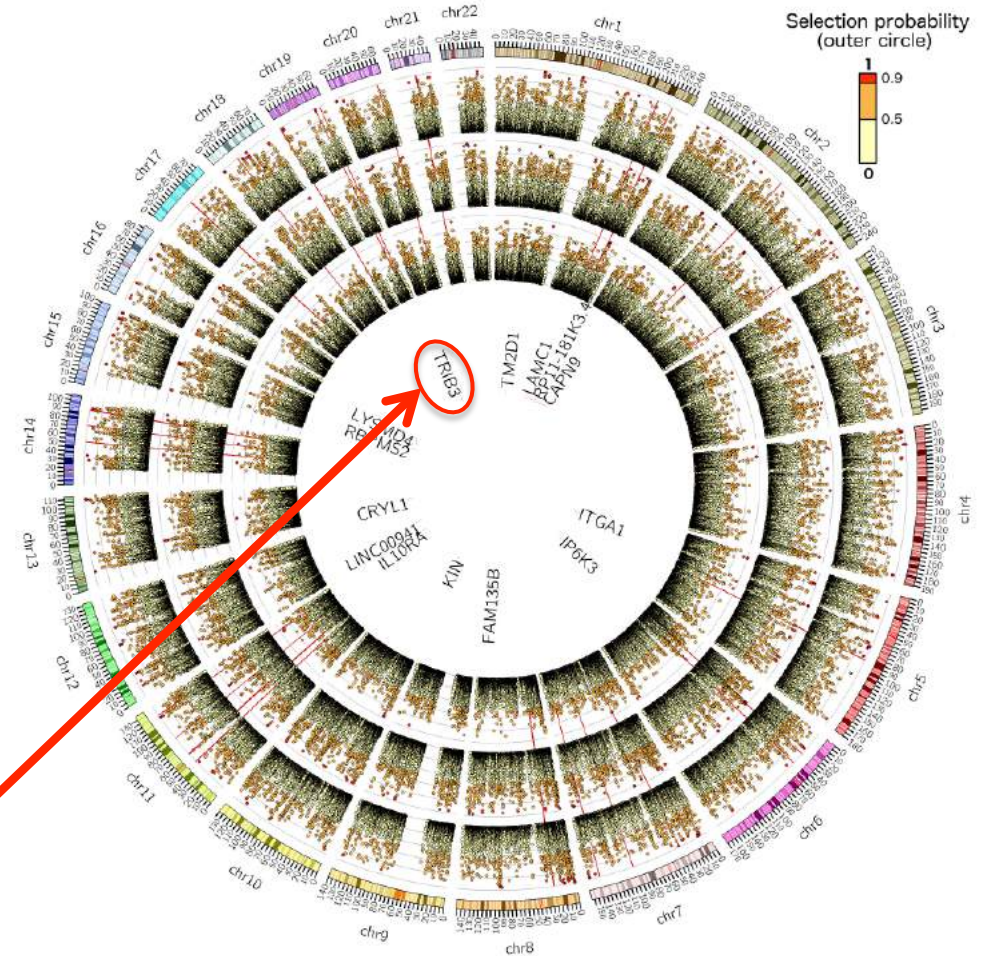
Génotypes SNPs : $\sim 10^6$ mesures
polymorphismes nucléotidiques



Génotype

Hippocampes, Amygdales
Cortex cingulaire,
enthorinal, temporal

TRIB3 + APOE, TOMM40, ... :
Neurodégénérescence
Maladie d'Alzheimer



M Lorenzi, ..., PM Thompson, S Ourselin. Susceptibility of brain atrophy to TRIB3 in Alzheimer's disease, evidence from functional prioritization in imaging genetics. *PNAS* 2018.

N. Ayache
2 mai 2018

Patient numérique & IA

informatiques mathématiques
Inria

36